

## شبیه سازی عددی جریان توام و آرام و انتقال حرارت سیال در مجاہد ناگهانی

رضا کریمی<sup>۱</sup>، ابوالفضل احمدی<sup>۲</sup>

<sup>۱</sup>دانشجوی دکترای مهندسی مکانیک، دانشگاه آزاد اسلامی واحد الیگودرز، الیگودرز، ایران

<sup>۲</sup>استادیار دانشکده فناوری های نوین گروه مهندسی سیستمهای انرژی، دانشگاه علم و صنعت، تهران، ایران

### چکیده

در سال‌های اخیر مطالعات بر روی رفتار رئولوژیکی و انتقال حرارتی سیالات در ابزارهای صنعتی به شدت رشد کرده و نتایج حاصل، پیشرفت‌های چشمگیری را در این زمینه ایجاد کرده است. در این مطالعه عددی به بررسی انتقال حرارت و جریان توام سیال آب در یک کanal با وجود انبساط ناگهانی می‌پردازیم. هندسه مورد مطالعه در این پژوهش یک کanal دوبعدی با انبساط ناگهانی است. دیواره کanal دوبعدی تحت تاثیر شارحرارتی ثابت است. در پژوهش حاضر، بررسی عددی برای سیال با عدد رینولدز و عدد گراشف مختلف در هندسه معرفی شده انجام گرفته است. افزایش عدد رینولدز جریان باعث کاهش دمای سطح و افزایش ضریب انتقال حرارت می‌گردد. نتایج این تحقیق به صورت نمودارهای عددناسلت، ضریب اصطکاک، افت فشار و کانتورهای سرعت و دمای استاتیکی تشریح می‌شوند.

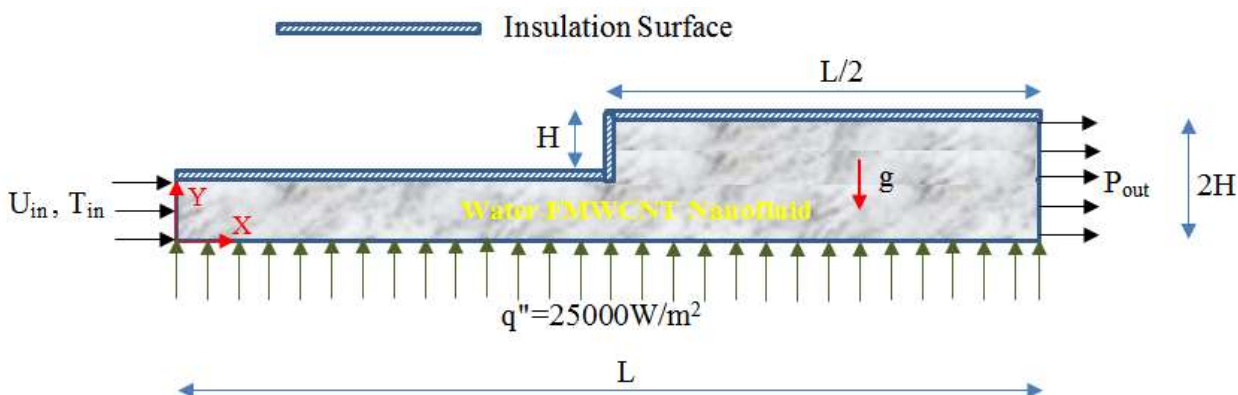
**واژه‌های کلیدی:** انتقال حرارت، سیال آب، انبساط ناگهانی، افت فشار، شار حرارتی ثابت، جریان توام.

توجه به صرفه‌جویی در مصرف مواد، فضای ارزشی و اقتصاد جهانی، منجر به گسترش تلاش‌هایی برای تولید تجهیزات مبدل‌های حرارتی پر بازده‌تر درجهت کاهش هزینه‌ها شده است. نتیجه این تلاش‌ها کاهش ابعاد فیزیکی این تجهیزات برای یک ظرفیت حرارتی مشخص می‌باشد. از این‌رو افزایش انتقال حرارت و نیز سیالات انتقال‌دهنده حرارت موضوع بسیاری از تحقیقات در دهه‌های اخیر بوده است. سیالات انتقال حرارت شرایط را برای تبادل ارزشی در یک سیستم مهیا می‌کنند و اثرات آنها بستگی به ویژگی‌های فیزیکی از قبیل هدایت حرارتی، لزجت، چگالی و ظرفیت گرمایی دارد. هدایت حرارتی پایین، اغلب مهمترین محدودیت سیالات انتقال حرارت می‌باشد. با پیشرفت علم، تولید نانوذرات از مواد گوناگون میسر شده است. یکی از خصایص مواد در ابعاد نانو، نسبت سطح به حجم بالای آنهاست که توانایی‌های خاصی به آنها بخشیده است. یکی از روش‌های افزایش انتقال حرارت، استفاده از نانو سیالات می‌باشد که اخیراً مورد توجه قرار گرفته است. سیالات به عنوان دسته‌های جدیدی از فناوری نانو پدیدار شده‌اند که بر پایه سیالات انتقال حرارت می‌باشند و در چند سال گذشته به طور فوق العاده‌ای رشد کرده‌اند. از انجا که سیالات عامل انتقال حرارت از قبیل اب، اتیلن گلیکول و روغن ضریب هدایت حرارتی کمی در مقایسه با فلزات مایع و اکسیدهای فلزی دارند، می‌توان با افرودن مواد جامد با مشخصه‌های حرارتی بهتر عملکرد سیالات فوق را بهبود بخشید. با افرودن ذرات جامد در مقیاس نانو به سیال پایه، بسیاری از مشکلات مربوط به سوسپانسیون‌های دیگر که با افزودن ذراتی با مقیاس میکرو تولید می‌گردند، به طور چشمگیری کاهش می‌یابد. این مشکلات شامل ته نشینی ذرات جامد، گرفتگی لوله‌ها، سایش جداره لوله‌ها و پمپ‌ها می‌باشند. در نانو سیالات به علت وجود ذراتی در مقیاس نانو این مشکلات کمتر اتفاق می‌افتد. از مزیت‌های مهم نانو سیالات افزایش شدید ضریب انتقال حرارت هدایتی و همچنین جابجایی بدون افزایش قابل توجه افت فشار می‌باشد. دانشمندان و مهندسان سعی بر این دارند تا قوانین حاکم بر خواص ترموفیزیکی این سیالات را کشف کنند، لذا سازوکارهای جدید پیشنهاد کرده و مدل‌های غیر معمولی را برای توضیح این رفتارها ارائه می‌دهند. در بسیاری از مسایل صنعتی به منظور ایجاد تغییرات در پارامترهای هیدرودینامیکی جریان سیال، از هندسه و ابعاد مختلف استفاده می‌شود. مجاري با انبساط و انقباض ناگهانی از جمله هندسه‌های پرکاربرد در بحث مسایل صنعتی هستند. شیرهای انبساط، ونتوری، اوریفیس‌ها و مخازن انبساط از جمله ابزارهای صنعتی و کاربردی بحث حاضر هستند. براین اساس از گذشته تاکنون مطالعاتی توسط پژوهشگران و محققان در زمینه انتقال حرارت در ابزارهای صنعتی صورت پذیرفته است. مطهری نژاد و همکاران [۱] به بررسی انتقال حرارت جریان هوا درون مجرایی با انبساط ناگهانی و در معرض شار حرارتی به طور عددی پرداختند. در این بررسی اثر تغییرات عدد رینولدز و میزان شار حرارتی بر نرخ انتقال حرارت و تغییرات دمای سطح پرداخته مورد مطالعه قرار گرفت. مشاهده شد که در منطقه جدایش و برگشت جریان، ضریب انتقال حرارت محلی به حداقل خود و دمای سطح لوله به کمترین مقدار خود می‌رسد و سپس به تدریج ضریب انتقال حرارت کاهش یافته و دمای سطح افزایش می‌یابد. افزایش عدد رینولدز جریان باعث کاهش دمای سطح و افزایش ضریب انتقال حرارت می‌گردد. همچنین با افزایش نرخ شار حرارتی وارد بر لوله افزایش در میزان دمای سطح مشاهده شده است. نتایج این حل عددی با کارهای تجربی انجام شده مقایسه و سازگاری مناسبی را نشان داده است. شاه مردان و همکاران [۲] به بررسی عددی انتقال حرارت و جریان سیال دارای جدایش توربولانسی در یک مجرای حلقوی دارای انبساط ناگهانی پرداختند. در این پژوهش آنها دریافتند که با افزایش اندازه زاویه انبساطی، نرخ افزایش بیشنه ارتفاع کاهش می‌یابد به طوریکه اختلاف ارتفاع ماکریزم در هر دو گردابه مجاور دیوار بالا و پایین کم است. همچنین با بیشتر شدن عدد رینولدز از مقدار  $140$  دیگر اندازه  $MHV$  برای گردابه بزرگتر به مقدار زاویه انبساطی بستگی ندارد. جریان سیال نیوتونی داخل هندسه انبساط ناگهانی در حالت متقارن دوبعدی توسط دیورست و همکارانش [۳] در قالب کار تجربی مورد بررسی و ارزیابی گرفت. آنها نشان دادند که برای مقادیر اعداد رینولدز کم، جریان متقارن باقی می‌ماند اما برای اعداد رینولدز بالاتر (بالاتر از  $56$ ) به دلیل ایجاد جریان نامتقارن، گردابه‌هایی با اندازه‌های مختلف تشکیل می‌شود. شاپیرا و همکاران [۴] با تحلیل پایداری خطی برای جریان متقارن در انبساط ناگهانی صفحه‌ای، پدیده اتفاق افتاده در

طول گردابه را مورد بررسی قرار دادند. فلتچر و همکارانش [۵] در تحقیقات خود به بررسی جریان با انبساط ناگهانی متقاضی پرداختند. آنها در پژوهش خود تاثیر نوع پروفیل سرعت ورودی بر روی عامل موثر بر جریان را مورد مطالعه قرار دادند. پینهو و الیویرا [۶] انبساط ناگهانی صفحه‌ای را مورد مطالعه قرار دادند. این پژوهش آنها دریافتند که برای اعداد رینولدز پایین، توزیع سرعت در بخش انبساطی، نسبت به شکل پروفیل سهمی خود دارای کمی انحراف است.

## ۲- بیان مسئله

تاکنون مطالعاتی در مورد بررسی جریان در مجرای با انبساط ناگهانی توسط محققین مورد مطالعه قرار گرفته است. اما تاکنون بررسی جریان و انتقال حرارت جابجایی توام در مجرای با انبساط ناگهانی با استفاده از سیال به طور همزمان بررسی نشده است. در این تحقیق به بررسی جریان سیال آب در هندسه معرفی شده میپردازیم. عدد گرافت در نظر گرفته در این پژوهش معادل ۱۰۰۰۰ و ثابت می‌باشد. محدوده اعداد رینولدز در این مقاله شامل محدوده ۱ تا ۱۵۰ است. به منظور تولید هندسه و مش مطلوب از نرم افزار Gambit استفاده می‌شود. این تحلیل با نرم افزار حجم محدود انسیس فلوئنت ۱۵ به صورت عددی انجام می‌پذیرد. در شکل (۱) و جدول (۱) شماتیک مسئله و ابعاد آن بررسی شده است.



شکل ۱. شماتیک مسئله بررسی شده

جدول ۱. تشریح ابعاد مسئله حل شده

L(m)	H(m)
۰,۱	۰,۰۰۵

سیال ورودی با دمای ۲۹۳ درجه کلوین وارد کanal می‌شود. شارحرارتی ثابت اعمالی به دیواره کanal معادل ۲۵ کیلووات بر متر مربع است. طول کanal ۰/۱ متر می‌باشد. از شرایط مرزی مساله شامل: سرعت و دمای ورودی در ابتدای کanal، فشار خروجی در مقطع خروجی کanal، شرط مرزی شارثابت در دیواره پایینی و شرط دیواره عایق در دیواره بالایی کanal می‌باشند. محدوده بررسی و ابعاد کanal در جدول (۲) نمایش داده شده است.

جدول ۲. شرایط سیال ورودی و ابعاد کانال

Re	L(m)	q"(kW/m')	T <sub>in</sub> (k)
۱-۱۵۰	۰,۱	۲۵	۲۹۳

خواص سیال خنک کننده در جدول (۳) تشریح شده است.

جدول ۳ - خواص ترموفیزیکی سیال پایه و سیال [۷].

wt%	Pr	ρ (kg/m³)	Cp(J/kgK)	μ(Pa.S)	k(W/mK)
Water	۶,۲	۹۹۰,۸	۴۱۷۸	۷۶۰۵-۶	۰,۶۲

در مجارا با انبساط ناگهانی جریان به صورت پایه، نیوتونی و آرام فرض می شود.

### ۳- معادلات حاکم

معادلات حاکم بر جریان آرام سیال خنک کننده شامل معادلات پیوستگی، ممنتوم و انرژی هستند که برای حالت دائم و آرام در مختصات کارتزین حل می شوند [۸].

معادله پیوستگی:

$$\frac{\partial u}{\partial x} + \frac{\partial v}{\partial y} = 0 \quad (1)$$

معادلات ممنتوم:

$$u \frac{\partial u}{\partial x} + v \frac{\partial u}{\partial y} = - \frac{1}{\rho_{nf}} \frac{\partial p}{\partial x} + v_{nf} \left( \frac{\partial}{\partial x} \left( \frac{\partial u}{\partial x} \right) + \frac{\partial}{\partial y} \left( \frac{\partial u}{\partial y} \right) \right) \quad (2)$$

$$u \frac{\partial v}{\partial x} + v \frac{\partial v}{\partial y} = - \frac{1}{\rho_{nf}} \frac{\partial p}{\partial y} + v_{nf} \left( \frac{\partial}{\partial x} \left( \frac{\partial v}{\partial x} \right) + \frac{\partial}{\partial y} \left( \frac{\partial v}{\partial y} \right) \right) \quad (3)$$

معادله انرژی:

$$u \frac{\partial T}{\partial x} + v \frac{\partial T}{\partial y} = \frac{1}{C_{p_{nf}} \rho_{nf}} \left( \frac{\partial}{\partial x} \left( K_{nf} \frac{\partial T}{\partial x} \right) + \frac{\partial}{\partial y} \left( K_{nf} \frac{\partial T}{\partial y} \right) \right) \quad (4)$$

از روابط (۴) تا (۸) برای محاسبه عدد ناسلت [۹]، ضریب اصطکاک [۱۰]، افت فشار [۱۱]، قدرت پمپاژ و عدد رینولدز [۱۲] و عدد گراش [۱۳] در کanal استفاده می شود. که در این پژوهش پارامترهای عدد ناسلت و ضریب اصطکاک بر روی دیواره گرم تعریف شده است.

$$Nu(x) = \frac{hD_h}{k_f} = \frac{h \times H}{k_f} \quad (5)$$

$$C_f = \frac{\tau_w}{\frac{1}{2} \times \rho \times u_{in}^2} \quad (6)$$

$$\Delta P = P_{out} - P_{in} \quad (7)$$

$$P_p = u_{in} \times A \times \Delta P \quad (8)$$

$$Re = \frac{u_{in} \times \rho \times H}{\mu} \quad (9)$$

$$Gr_H = \frac{g \times \beta_f \times H^4 \times q''}{k_f \times v_f^2} \quad (10)$$

#### ۴- استقلال از شبکه:

در این قسمت به منظور مستقل شدن جوابهای میدان حل از تعداد شبکه، میزان مش سازمان یافته مستطیلی از تعداد ۷۵۰۰ مش تا تعداد ۹۰۰۰۰ مش تغییر داده می‌شود (جدول ۴). به منظور حصول اطمینان استقلال از مش در تحقیق حاضر برای پارامترهای هیدرودینامیکی و انتقال حرارت، دو پارامتر ضریب اصطکاک و عدد ناسلت متوسط در دیواره پایینی بررسی می‌شوند.

جدول ۴- بررسی استقلال از شبکه

تعداد شبکه	Nu <sub>ave</sub>	C <sub>fave</sub>
۷۵۰۰	۵/۲۷۳۱۵	۰/۰۸۷۰۰۲۶۶
۳۰۰۰۰	۵/۳۰۲۰۲	۰/۰۸۸۱۳۶۱
۹۰۰۰۰	۵/۲۸۶۴۹۲	۰/۰۸۹۶۴۸۵۳

با توجه به نتایج به دست آمده از واستگی شبکه و با تقریب خوب و خطای کمتر از ۲ درصد و به منظور صرفه جویی در زمان و استفاده از حافظه کمتر در بررسی میدان عددی تعداد مش ۳۰۰۰۰ به عنوان مش بهینه انتخاب می‌شود. شکل (۲) نمودار همگرایی میدان حل در مانده  $^{+/-} ۱۰$  را نمایش می‌دهد. مشاهده می‌شود که در مانده مورد نظر میدان حل عددی همگرا می‌شود.

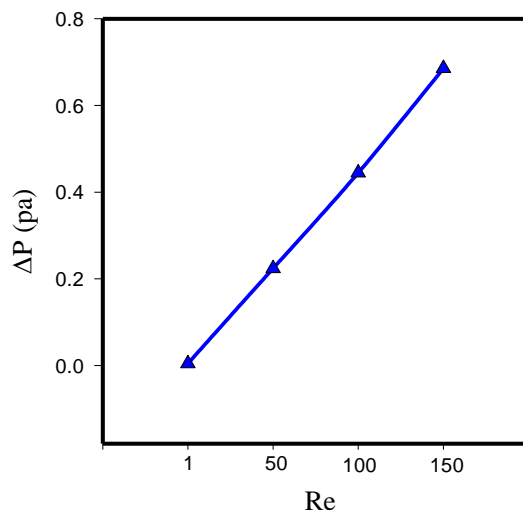
#### ۵- روش تحقیق

در این بررسی عددی از نرم افزار حجم محدود Fluent ۱۵ به منظور حل میدان عددی استفاده شده است. از آلگوریتم SIMPLEC و از روش گسسته‌سازی مرتبه دوم برای معادلات پیوستگی، ممنتوم و انرژی استفاده می‌شود. همچنین برای دستیابی به حداقل خطای محاسباتی از ماکریزم مانده  $^{+/-} ۱۰$  استفاده می‌شود.

#### ۶- نتایج:

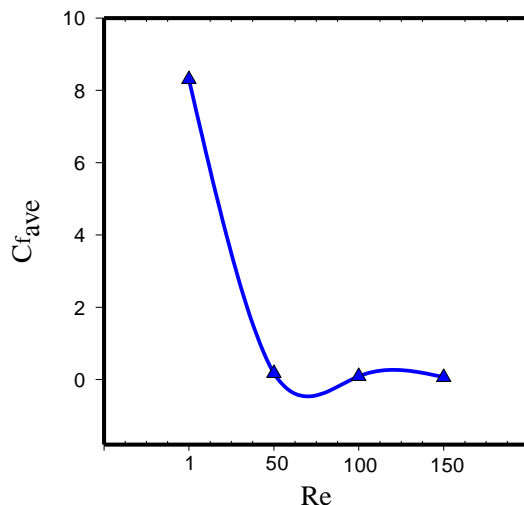
نتایج به دست آمده از حل این مسئله شامل بررسی ضریب اصطکاک، عدد ناسلت، افت فشار، قدرت پمپاژ و کانتورهای سرعت و دما در راستای طول کanal است.

شکل (۳) نمودار افت فشار متوسط در محدوده اعداد رینولذ در این تحقیق را نمایش میدهد. همان‌طور که در شکل (۳) مشاهده می‌شود میزان افت فشار بیشتر تابع وجود آمدن گردابه‌ها و جریان‌های ثانویه‌ی ایجاد شده در جریان می‌باشد. این گردابه‌ها تاثیر چشمگیری در افزایش میزان افت فشار دارند. با افزایش عدد رینولذ به علت افزایش یافتن سرعت سیال تلفات ممتد می‌باشد. از این‌رو با افزایش عدد رینولذ سطح نمودار افت فشار به صورت چشمگیری افزایش یافته است. در اعداد رینولذ ۱ به علت اینکه حرکت سیال به صورت لایه‌ای تر و انتقال استهلاک ممتد از لایه‌های زیرین سیال به لایه‌های بالاتر کنده‌تر صورت می‌پذیرد، میزان افت فشار در اعداد رینولذ پایین تر کمتر است.



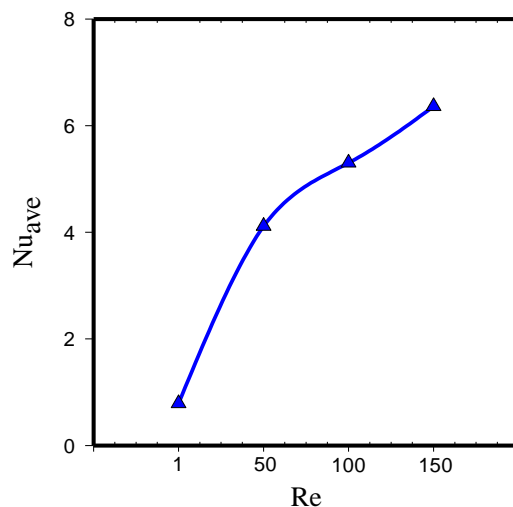
شکل ۳. نمودار افت فشار متوسط در محدوده اعداد رینولذ مختلف

شکل (۴) نمودار ضریب اصطکاک متوسط در اعداد رینولذ مختلف برای سیال خنک کننده آب خالص را نمایش میدهد. با افزایش عدد رینولذ ضریب اصطکاک پوسته‌ای کاهش می‌یابد. با افزایش عدد رینولذ ضخامت لایه مرزی و در نتیجه اثرات اصطکاکی کاهش می‌یابد و در نتیجه  $f$  کاهش یافته است. در حقیقت در جریان با سرعت پایین، سیال خنک کننده تمایل به لمس تمامی سطوح کanal را دارد. با افزایش سرعت و توده ای شدت حرکت سیال بسیاری از نواحی نزدیک به دیواره در ناحیه هسته غیرلزج واقع می‌شوند که با لمس نکردن این سطوح توسط سیال خنک کننده خصوصاً در جریان‌های آشفته، تاثیر بسزایی در کاهش ضریب اصطکاک دارند.



شکل ۴. نمودار ضریب اصطکاک متوسط در اعداد رینولدز مختلف

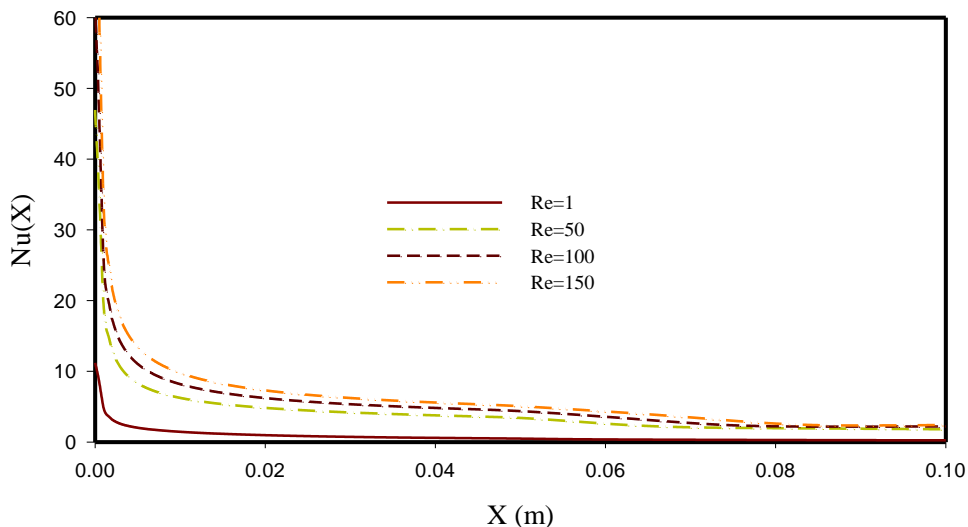
شکل (۵) نمودار عدد ناسلت متوسط در محدوده اعداد رینولدز مختلف در را تشریح میکند. در کلیه اعداد رینولدز بررسی شده با افزایش سرعت سیال مکانیزم‌های انتقال حرارت مانند مکانیزم جابجایی اجباری تقویت میشوند و ضریب انتقال حرارت و عدد ناسلت افزایش می‌یابند. چراکه افزایش سرعت سیال تقویت ضریب انتقال حرارت جابجایی اجباری را در پی دارد. بیشترین میزان عدد ناسلت مربوط به عدد رینولدز  $150$  و کمترین مقدار آن مربوط به عدد رینولدز  $1$  است.



شکل ۵. نمودار عدد ناسلت متوسط در محدوده اعداد رینولدز مختلف

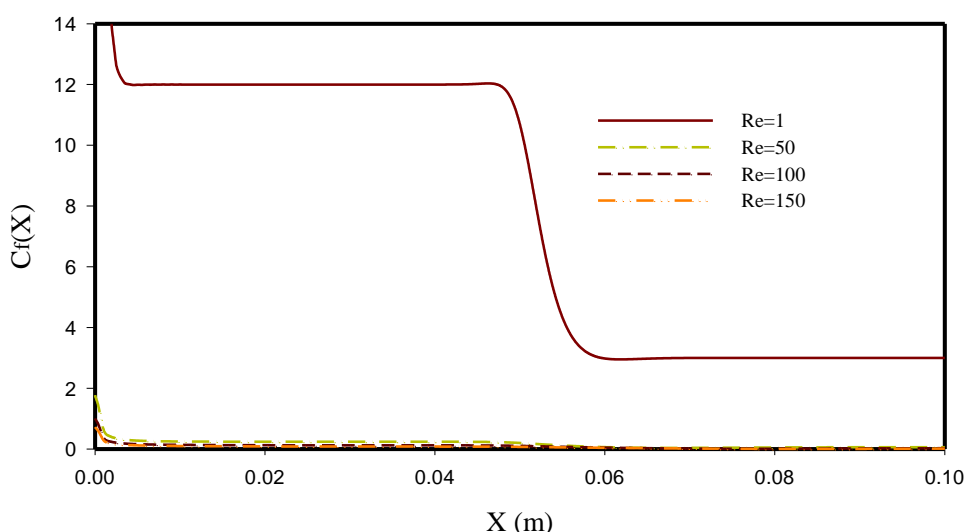
شکل (۶) نمودار تغییرات عدد ناسلت موضعی در راستای طول کanal را تشریح میکند. در شکل (۶) تغییرات عدد ناسلت موضعی در راستای طول کanal در دیواره زیرین کanal در اعداد رینولدز  $1$ ،  $50$ ،  $100$  و  $150$  نشان داده شده است. با توجه به بیشتر شدن سرعت سیال در اعداد رینولدز بالاتر، ضریب جابجایی حرارتی سیال افزایش یافته و در نتیجه عدد ناسلت افزایش

می‌یابد. دلیل این افزایش در عدد ناسلت در عدد رینولذ بالاتر ناشی از شتاب گرفتن فرآیند مبادله انرژی در سیال خنک کننده به دلیل حرکات تصادفی ملکولهای سیال خنک کننده در داخل کانال می‌باشد. این فرآیند باعث می‌شود توزیع دمای یکنواخت‌تر می‌شود و در نتیجه نرخ انتقال حرارت بین دیواره و سیال افزایش می‌یابد. در ابتدای کانال به علت عدم تشکیل ضخامت لایه مرزی حرارتی بیشترین نرخ انتقال حرارت از دیواره با سیال صورت می‌پذیرد. در انتهای کانال به علت توسعه یافتن جریان سیال خنک کننده انتقال حرارت بین سیال و دیواره کاهش یافته در نتیجه عدد ناسلت کاهش می‌یابد.



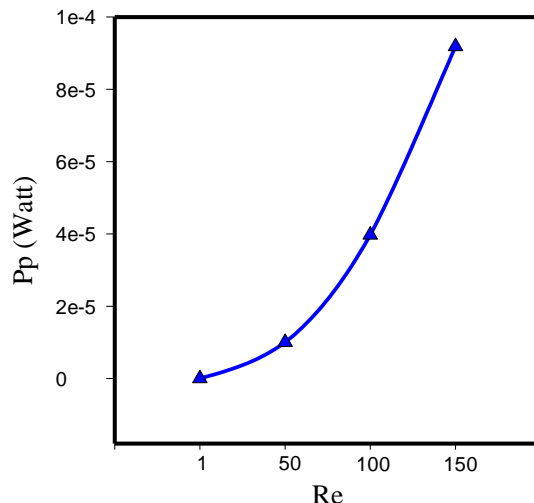
شکل ۶. نمودار عدد ناسلت موضعی در راستای طول کانال

شکل (۷) نمودار ضریب اصطکاک موضعی در راستای طول کانال در اعداد رینولذ مختلف را نمایش میدهد. تغییرات سرعت در طول کانال ناشی از تغییرات مقطع در اعداد رینولذ پایین تاثیر بسزایی بر رفتار ضریب اصطکاک دارد. ایت تغییرات در عدد رینولذ ۱ ماکزیمم مقدار است و در نواحی انبساط ناگهانی در کانال به علت نفوذ جریان کانال کوچکتر در کانال با ارتفاع بیشتر تا حدود زیادی ضریب اصطکاک کاهش می‌یابد. این تغییرات ناگهانی در اعداد رینولذ بالاتر چندان چشمگیر نیست.



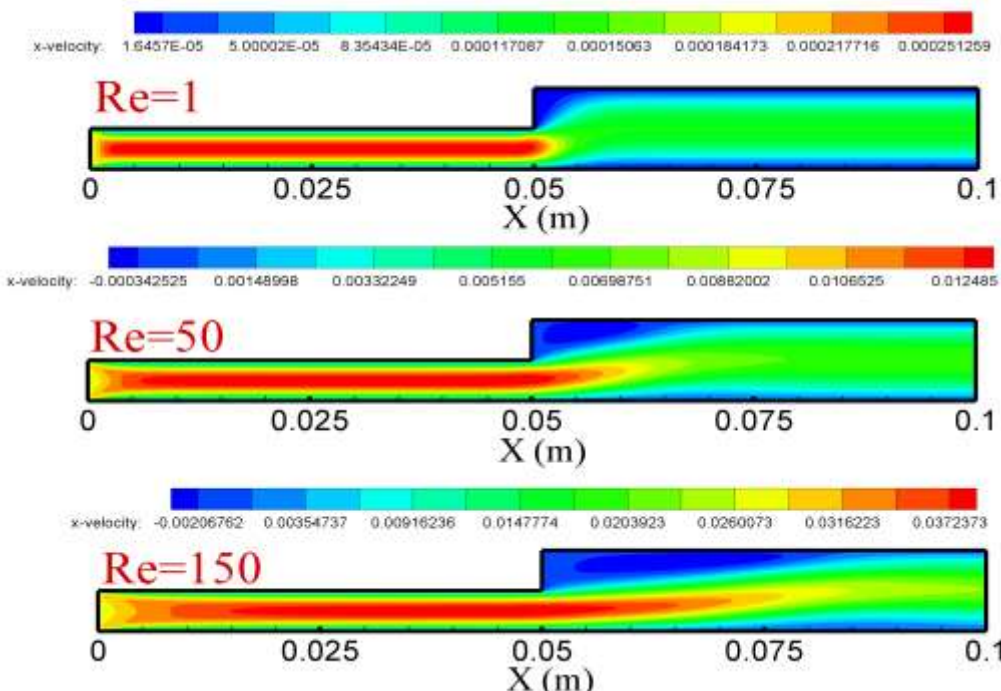
شکل ۷. نمودار ضریب اصطکاک موضعی در راستای طول کانال

شکل (۸) نمودار قدرت پمپاژ در اعداد رینولدز مختلف نمایش میدهد. با افزایش عدد رینولدز میزان دبی جریان و افت فشار افزایش می‌یابند و در نتیجه میزان قدرت پمپاژ نیز افزایش می‌یابد. برای دستیابی به سرعت سیال تیازمند استفاده از پمپ‌های قوی تر هستیم.

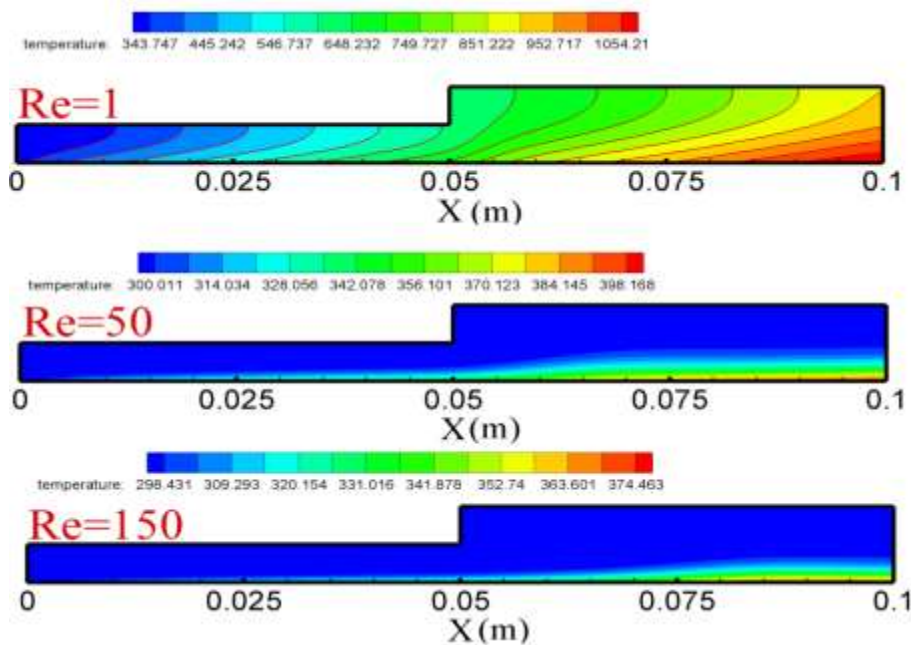


شکل ۸. نمودار قدرت پمپاژ در اعداد رینولدز مختلف

شکل های (۹) و (۱۰) کانتورهای سرعت محوری و دمای استاتیکی در راستای طول کanal را نمایش می‌دهد. تغییرات مقطع کanal (انبساط ناگهانی) در راستای طول کanal تاثیر بسزایی در رفتار هیدرودینامیکی و انتقال حرارتی جریان سیال خنک کننده دارد. از اینرو باز شدگی کanal باعث تغییرات مولفه های سرعتی سیال در راستاهای X و Y میشود که این عامل باعث برهم زدن لایه مرزی سرعتی و حرارتی در طول کanal میشود. و کاهش سرعت سیال، کاهش افت فشار و ضریب اصطکاک و کاهش عدد ناسلت در این ناحیه را به همراه دارد.



شکل ۹. کانتورهای سرعت محوری در راستای طول کانال



شکل ۱۰. کانتورهای دمای استاتیکی در راستای طول کانال

## ۷-پیشنهادات

برای ادامه این تحقیق پیشنهاد می‌شود:

- ۱- میتوان بجای استفاده از سیال آب از سیال در کسر حجمی یا جرمی مختلف استفاده کرد.
- ۲- میتوان محل انبساط ناگهانی را جابجا کرد و تاثیر این تغییرات بر روی جریان سیال و انتقال حرارت بررسی کرد.

۳- در ادامه بررسی میتوان محل انبساط ناگهانی را به صورت زاویه دار بررسی کرد.

## مراجع

۱. مطهری نژاد، محسن؛ سعید شهرکی؛ رضا تیرگر و حسین بیساندی، ۱۳۹۲، شبیه سازی عددی انتقال حرارت به جریان سیال دارای جدایش توربولانسی در یک مجرای حلقوی دارای انبساط ناگهانی، کنفرانس ملی مهندسی مکانیک ایران، شیراز، دانشگاه شیراز، موسسه بین المللی آموزشی و پژوهشی خوارزمی صفاشهر.
۲. محمد محسن شاه مردان، محمود نوروزی، امین شهبانی ظهیری، مطالعه عددی پارامترهای جریان نیوتونی در کanal با انبساط تدریجی، مجله علمی پژوهشی مکانیک سازه ها و شاره ها، دوره ۲/ شماره ۱/ بهار ۹۱/صفحه ۶۷ تا ۸۲
۳. Durst F, Melling A, Whitelaw JH (۱۹۷۴) Low Reynolds number flow over a plane symmetric sudden expansion. *J Fluid Mech* ۶۴: ۱۱۱–۱۲۸.
۴. Shapira M, Degani D, Weihs D (۱۹۹۰) Stability and existence of multiple solutions for viscous flow in suddenly enlarged channels. *Comp Fluids* ۱۸: ۲۳۹–۲۵۸.
۵. Fletcher DF, S.J. Maskell SJ, Patrick MA (۱۹۸۵) Heat and mass transfer computations for laminar flow in an axisymmetric sudden expansion. *Comp Fluids* ۱۳: ۲۰۷–۲۲۱.
۶. Pinho FT, Oliveira PJ, Miranda JP (۲۰۰۳) Pressure losses in the laminar flow of shear-thinning power-law fluids across a sudden axisymmetric expansion. *Int J of Heat and Fluid Flow* ۲۴: ۷۴۷–۷۶۱.
۷. Zahra Nikkhah, Arash Karimipour, Mohammad Reza Safaei, Pezhman Forghani-Tehrani, Marjan Goodarzi, Mahidzal Dahari, Somchai Wongwises, Forced convective heat transfer of water/functionalized multi-walled carbon nanotube nanofluids in a microchannel with oscillating heat flux and slip boundary condition, *International Communications in Heat and Mass Transfer* ۶۸ (۲۰۱۵) ۶۹–۷۷.
۸. A.H. Mahmoudi, I. Pop, M. Shahi, Effect of magnetic field on natural convection in triangular enclosure filled with nanofluid, *Int. J. Therm. Sci.* ۵۹ (۲۰۱۲) ۱۲۶–۱۴۰.
۹. S.M. Aminossadati, A. Raisi, B. Ghasemi, Effects of magnetic field on nanofluid forced convection in a partially heated microchannel, *Int. J. Non Linear Mech.* ۴۶ (۲۰۱۱) ۱۳۷۳–۱۳۸۲.
۱۰. Arash Karimipour, Habibollah Alipour, Omid Ali Akbari, Davood Toghraie Semiroomi and Mohammad Hemat Esfe, “Studying the effect of indentation on flow parameters and slow heat transfer of water-silver nanofluid with varying volume fraction in a rectangular Two-Dimensional microchannel”, *Indian Journal of Science and Technology*, Vol ۸(۱۵), ۵ ۱۷۰۷, July ۲۰۱۵.
۱۱. Chuan Leng, Xiao-Dong Wang, Tian-Hu Wang, An improved design of double-layered microchannel heat sink with truncated top channels, *Applied Thermal Engineering* ۷۹ (۲۰۱۵) ۵۴۶۲.
۱۲. Omid Ali Akbari, Davood Toghraie and Arash Karimipour, Numerical simulation of heat transfer and turbulent flow of water nanofluids copper oxide in rectangular microchannel with semi attached rib, *Advances in Mechanical Engineering*, ۲۰۱۶, Vol. ۸(۴) ۱–۲۵.

۱۳. S. Alikhani, A. Behzadmehr, M. Saffar-Avval, Numerical study of nanofluid mixed convection in a horizontal curved tube using two-phase approach, Heat Mass Transfer (۲۰۱۱) ۴۷:۱۰۷–۱۱۸.
۱۴. Atluri, S.N. and Shen, S. (۲۰۰۲), “*The Meshless Local Petrov–Galerkin (MLPG) Method*”, Tech Science Press, USA.